

سنتر و مشخصه یابی پلی(آزیدومتیل)-۱،۳-پروپیلن آدیپات)

به عنوان بایندر پرانرژی

منا رضایی^۱، منصور شهیدزاده^{*۲}

۱- دانشجوی کارشناسی ارشد ۲- دانشیار دانشگاه صنعتی مالک اشتر

(تاریخ وصول: ۹۵/۱/۲۹، تاریخ پذیرش: ۹۵/۳/۱۰)

چکیده

پلی استر پلی‌ال‌های پرانرژی به عنوان بایندر جایگزین در پیشنهادهای جامد کامپوزیت پرانرژی استفاده می‌شوند. در این پژوهش، ابتدا پلیمر پلی(۲،۲-بیس(برومومتیل)-۱،۳-پروپیلن آدیپات) به عنوان یک بایندر انرژی زا، از طریق واکنش تراکمی مستقیم ۲،۲-دی‌برمو-۱،۳-پروپان‌دی‌ال و آدیپیک‌اسید سنتز شده و سپس آزیداسیون این پلیمر در حضور سدیم آزید، منتهی به تشکیل پلی(۲،۲-بیس(آزیدومتیل)-۱،۳-پروپیلن آدیپات) استر شد. پلی آزیدو استر با استفاده از آنالیزهای $^1\text{H-NMR}$, FTIR , GPC , DSC , TGA و آنالیز عنصری شناسایی و مشخصه یابی شد. نتایج کروماتوگرافی ژل تراوا نشان می‌دهد که میانگین عددی جرم مولکولی پلی آزیدو استر حدود ۵۹۰۰ گرم بر مول است. همچنین نتایج DSC/TGA نشان می‌دهد که پلی آزیدو استر در طی یک فرایند سه مرحله‌ای تجزیه می‌شود. که دو مرحله اول مرتبط با تجزیه گروه‌های جانبی آزیدو متیل است. همچنین برای تفسیر کاهش دمای انتقال شیشه‌ای پلی آزیدو استر، مطالعه آنالیز کنفورماسیونی از طریق حرکت همزمان زوایای دو وجهی $O^*-CH_2-C(CH_2Br)_2-CH_2OH$ -در واحد تکراری با استفاده از محاسبات نیمه تجربی PM6 انجام شده است، نشان می‌دهد که انرژی فعالسازی برای چرخش زنجیر در پلی آزیدو استر کمتر از پلی بروموماستر است و این پلیمر با سهولت بیشتری حرکت میل لنگی را انجام می‌دهد و به همین دلیل دمای انتقال شیشه‌ای آن کمتر است.

واژه‌های کلیدی: ۲،۲-دی‌برمو-۱،۳-پروپان‌دی‌ال، آدیپیک‌اسید، پلیمریزاسیون تراکمی، پلی آزیدو استر پلی‌ال، بایندر.

Synthesis and Characterization of Poly(2,2-Bis(Azidomethyl)-1,3-Propylene Adipate as Energetic Binder

M. Rezaee, M. Shahidzadeh*

Maleke Ashtar University of Technology

(Received: 4/17/2016, Accepted: 5/30/2016)

Abstract

Energetic Polyester polyols are used in high energy solid composite propellant as an alternative binder. In this research, poly(2,2-bis(azidomethyl)-1,3-propylene adipate was synthesized from direct polycondensation reaction between an adipic acid and 2,2-bis(bromomethyl)-1,3-propanediol. Then, azidation of polybromoester afforded polyazidoester as an energetic polyester. Polyazidoester has been identified and characterized by FTIR, $^1\text{H-NMR}$, GPC, DSC and elemental analysis methods. The result of GPC showed that the molecular weight of the synthesized polyester is about 5900 g/mol. The result of TGA/DSC showed that the thermal decomposition of polyazidoester involved three steps. It is found that the first and second steps were mainly correspond to the thermal decomposition of azidomethyl groups (CH_2N_3) to methylnitrene group ($\text{CH}_2\text{N}:$), and the third step was mostly correspond to the thermal decomposition of the remained polyester backbone. Also for interpreting the dropping of glass transition temperature of azidoester, conformational analysis about two- $O^*-CH_2-C(CH_2\text{Br})_2-CH_2\text{OH}$ dihedral angles has been carried out by PM6 semiempirical calculation. The results have shown that the activation energy of crankshaft motion of the polyester segments is reduced by substitution of bromine with azide causing lower T_g of polyazidoester compared to polybromoester.

Keywords: 2,2-Bis(Bromomethyl)-1,3-Propanediol , Adipic Acid, Condensation Polymerization, Poly Azido Ester, Binder.

* Corresponding Author E-mail: Shahidzadeh@mut.ac.ir

"Journal of Energetic Materials" Volume 11, No.3, Serial No.31, Autumn 2016

۱- مقدمه

در پلیمریزاسیون، سبب تولید محصولی با گروه انتهایی هیدروکسیل می‌شود. واکنش بدون حضور کاتالیزور نیز صورت می‌گیرد زیرا گروه‌های کربوکسیل اسیدی نقش کاتالیستی نیز ایفا می‌کنند. اما بهترین نتیجه‌ها (زمان واکنش کم و اسیدیته نهایی پایین) در حضور کاتالیزورهای خاص مانند: پاراتولوئن سولفونیک اسید، ترکیبات قلع (اکتووات قلع)، آنتیموان، تیتانیوم (ترابوتیل تیتانات)، روی (استات آزوی، منگنز (استات منگنز) یا ترکیبات سرب و اخیراً کاتالیزورهای آزمیمی (لیپازها)، حاصل می‌شود [۱۸، ۲۵]. پیش‌پلیمرهای حاوی گروه آزید (N₃) معمولاً به عنوان پیش‌پلیمر با گروه‌های جانبی فعال شناخته می‌شوند و لذا می‌توانند در واکنش‌های پسا پلیمریزاسیون شرکت نمایند. آزیدو پلی استر پلی‌ال‌ها، پلیمرهایی با گروه جانبی آزیدی هستند که می‌توانند با عوامل پخت استیلین از طریق گروه‌های آزیدی و با عوامل پخت ایزوسیاناتی از طریق گروه‌های هیدروکسیل شبکه‌ای شوند همچنین آزیدو پلی استر پلی‌ال‌ها از طریق هر دو گروه آزید و هیدروکسیل به صورت همزمان و دوگانه^۱ پخت شوند. در این پژوهش، رزین پلی (۲،۲-بیس آزیدو متیل)-۱،۳-پروپیلن آدیپات حاوی گروه‌های آزیدو از واکنش تراکمی مستقیم بین ۲،۲-دی‌برمو-۳،۱-پروپان‌دی‌ال و آدیپیک اسید سنتز شده و خواص آن از قبیل دمای انتقال شیشه، وزن مولکولی پلیمر و پایداری حرارتی آن مورد ارزیابی قرار می‌گیرد.

۲- بخش تجربی

۲-۱ مواد و تجهیزات

آدیپیک اسید، پاراتولوئن سولفونیک اسید، تولوئن، سدیم آزید، دی متیل سولفوکسید، سدیم سولفات بدون آب، تتراهیدروفوران، استیک اسید، پیریدین، پتابسیم هیدروکسید، اتانول، پتابسیم هیدروژن فتالات و شناساگر فنل فتالین از شرکت مرک-۲،۲-بیس (بروموتیل)-۳،۱-پروپان دی‌ال از شرکت سی‌گاما تهیه و مصرف شدند. آنالیز FT-IR توسط دستگاه طیف سنج Bruker انجام شد. H-NMR^۱ توسط دستگاه Bruker 300MHz با استفاده از تترا متیل سیلان (TMS) به عنوان استاندارد داخلی و حلal_۳ CDCl₃ انجام شد. آنالیزهای وزن سنجی حرارتی^۲ (TGA) و کالری متری روبشی تفاضلی^۳ (DSC) با استفاده از دستگاه DSC1 Toledo Mettler در محیط نیتروژن و با سرعت گرمایش ۱۰ °C min^{-۱} انجام گرفت. مقادیر وزن مولکولی به وسیله دستگاه GPC مدل 2410 GPCWATERS با حلal_۳ استایرن انجام پذیرفت. آزمون سختی نیز بر اساس استاندارد Zwick Shore A و ASTM-D2240 توسط دستگاه انجام شد.

پیشرانه‌های جامد کامپوزیت از سه جز بایندر، اکسیدکننده و سوخت فلزی تشکیل شده‌اند [۱]. بایندر علاوه بر اینکه نقش نگهدارنده پرکننده‌های جامد را دارد، خواص مکانیکی و حرارتی متناسب با الزامات سیستمی شبکه را نیز فراهم می‌کند [۲]. چون هدف اصلی پیشرانه‌ها تأمین تراست لازم برای جابجاگر محموله‌های مورد نظر است لذا هر اندازه پیشرانه مقدار ایمپالس ویژه بیشتری را تأمین کند می‌تواند تراست بزرگ‌تری را برای انتقال محموله‌های بیشتری فراهم نماید. یک راهکار برای افزایش ایمپالس و ارژی پیشرانه، جایگزینی اجزای خنثی بایندر با اجزای دارای گروه‌های انرژی‌زا است. معمولاً این تغییر با جایگزینی پیش‌پلیمرها و نرم‌کننده‌های خنثی با مشابه اثری‌زای آن که حاوی گروه‌های جانبی نیترآمین (N-NO₂)-، دی‌فلوروآمین (NO₂-)، آزیدو (NO₂-) و نیترو (NO₂) است، تأمین می‌شود [۳]. پلیمرهای پرانرژی‌ای که تاکنون سنتز شده و مورد ارزیابی قرار گرفته‌اند به سه دسته کلی پلی‌بوتدی‌ان‌پلی‌ال، مانند نیتروپلی‌بوتدی‌ان با گروه‌های هیدروکسیل انتهایی مانند (NHTPB) (NHTPB) [۴-۶]، پلی‌گلایسیدیل اثری‌زای مانند گلایسیدیل آزید پلیمر (GAP) [۷-۱۰]، پلی‌نیترات (PGLYN) [۱۱-۱۲]، پلی-۳-نیتراتو متیل-۳-متیل اکستان (PNIMO) [۱۳]، پلی-۳-آزیدو متیل-۳-متیل اکستان (PBAMO) [۱۴-۱۶] و دسته سوم پلی‌استرپلی‌ال‌ها پر انرژی [۱۷] [۱۷] تعلق دارند.

پلی‌استرپلی‌ال‌ها پلیمرهای دارای وزن مولکولی پایین (۴۰۰۰-۱۰۰۰) می‌باشند که به واسطه وجود گروه‌های استری و هیدروکسیل انتهایی مشخص می‌شوند. پلی‌استرپلی‌ال‌ها به عنوان دومین گروه بزرگ و مهم الیگوپلی‌ال‌ها پس از پلی‌اترپلی‌ال‌ها می‌باشند. پلی‌استرپلی‌ال‌ها می‌توانند در الاستو默 های پلی‌یورتان، فوم‌های انعطاف‌پذیر، پوشش‌ها، مواد چسبنده، فوم‌های محکم، چرم مصنوعی و عوامل درز‌گیر بکار روند [۱۸-۲۲]. سه روش کلی برای سنتز پلی‌استر پلی‌ال‌ها وجود دارد، روش اول شامل واکنش ترانس استری شدن بین دی‌متیل استرها دی‌کربوکسیلیک اسید یا اسیدهای دو عاملی نظیر دی‌متیل‌آدیپات، دی‌متیل‌ترفتالات، دی‌متیل کربنات یا حتی پلی‌اتیلن‌ترفتالات با گلیکول‌ها است [۲۲-۱۸]. در روش دوم پلی‌نیترات گلیکول کربنات حلقه گشایی استرهای حلقوی، مانند ۴-کاپرولاكتان یا کربنات‌های حلقوی مانند اتیلن گلیکول کربنات، پروپیلن گلیکول کربنات، نیوبنتیل گلیکول کربنات صورت می‌گیرد [۲۳-۲۲]. روش سوم واکنش مستقیم پلی‌استری شدن دی‌اسیدها با گلیکول‌ها است که به عنوان مهم‌ترین مسیر سنتز صنعتی برای پلی‌استر پلی‌ال‌ها است [۲۴]. واکنش پلیمریزاسیون تراکمی بین دی‌کربوکسیلیک اسید و گلیکول‌ها، یک واکنش تعادلی است و با حذف مدادام آب از محیط واکنش، این تعادل به سمت تشکیل پلی‌استر پلی‌ال‌ها پیش می‌رود [۱۸]. استفاده از مقدار اکی والانی بیشتر گلیکول نسبت به اسید

1- Dual Curing

2- Thermal Gravimetry Analysis (TGA)

3- Differential Scanning Calorimetry (DSC)

شاهد به کار می رود حاوی فقط ۵ میلی لیتر تتراهیدروفوران است. ۵ میلی لیتر واکنشگر استیلاسیون در هر دو ظرف ریخته شد. دو ارلن در شرایط رفلاکس به مدت ۱ ساعت در حمام آب گرم قرار داده شد. پس از یک ساعت ارلن ها در دمای محیط قرار گرفته و پس از خنک شدن، ۲ میلی لیتر آب مقطور به هر کدام اضافه گردید. سپس در هر ظرف ۱۰ میلی لیتر از واکنشگر هیدرولیز ریخته شد و سپس رفلاکس به مدت یک ساعت ادامه یافت و پس از آنکه ارلن ها به دمای محیط رسیدند به هر کدام ۵ قطره شناساگر فنل فتالین اضافه شد و با محلول پتابسیم هیدرولیز رسید تیتر شد. مقدار عدد هیدرولیز رسید نمونه های پلی برومومتیل است با استفاده از معادله ۱ محاسبه گردید.

$$(V_2 - V_1) \times \frac{56.1}{m} : (\text{OH.NO}) \quad (1)$$

در این رابطه، V_1 : حجم مصرفی پتابسیم هیدرولیز رسید برای نمونه N :
 V_2 : (ml) : حجم مصرفی پتابسیم هیدرولیز رسید برای شاهد m : نرمالیته پتابسیم هیدرولیز رسید (eq.ml⁻¹) و m : مقدار نمونه (g) است.

۲-۵- اندازه گیری عدد اسیدی پلی(۲،۲-بیس آزیدومتیل)-۳،۱-پروپیلن آدیپات) [۲۷]

عدد اسیدی کمیتی است که برای تعیین میزانگ روه های کربوکسیل در یک ماده شیمیایی به کار می رود و بر حسب میلی گرم پتابسیم هیدرولیز رسید بر گرم نمونه بیان می شود. دو عدد ارلن مایر ۲۵۰ میلی-لیتری، یکی حاوی ۲ گرم از نمونه پلی(۲،۲-بیس آزیدومتیل)-۳،۱-پروپیلن آدیپات و ۵ میلی لیتر تتراهیدروفوران و ارلن دیگر که به عنوان شاهد به کار می رود حاوی فقط ۵ میلی لیتر تتراهیدروفوران است. در هر کدام ۵ قطره شناساگر فنل فتالین ریخته و با محلول پتابسیم هیدرولیز رسید تیتر شد. حجم مصرفی پتابسیم هیدرولیز رسید یادداشت گردید و در معادله مربوطه فرآگرفت و مقدار عدد اسیدی محاسبه گردید. برای تعیین میزان پیشرفت واکنش، عدد اسیدی نمونه های پلیمری در فواصل زمانی معین اندازه گیری شد.

۳- نتایج و بحث

۳-۱- شناسایی ترکیب پلی(۲،۲-بیس آزیدومتیل)-۳،۱-پروپیلن آدیپات) PBPA و پلی(۲،۲-بیس آزیدومتیل)-۳،۱-پروپیلن آدیپات) PAPA

رزین PAPA از طریق واکنش پلیمریزاسیون تراکمی و در طی دو مرحله سنتز می شود. مرحله اول سنتز PBPA از طریق واکنش تراکمی استری شدن بین ۲،۲-بیس آزیدومتیل)-۳،۱-پروپیلن دیال و آدیپیک اسید در حلال تولوئن صورت می گیرد. در این واکنش از پاراتولوئن سولفونیک اسید به عنوان کاتالیزور استفاده شده است (شکل ۱) و سپس مرحله دوم آزیداسیون گروه های جانبی برمومتیل پلیمر PBPA منتهی به تشکیل پلیمر نهایی PAPA می شود (شکل ۲).

۲-۲- سنتز پلی(۲،۲-بیس آزیدومتیل)-۳،۱-پروپیلن آدیپات

به یک فلاسک مجهر به مبرد رفلاکس و رابط دین استارک، ۳/۵۸ گرم ۲،۲-بیس آزیدومتیل)-۳،۱-پروپیلن دیال، ۲ گرم آدیپیک اسید، ۰/۱۴ گرم کاتالیزور پاراتولوئن سولفونیک اسید و ۶۰ میلی لیتر حلال تولوئن اضافه شد. مخلوط واکنش تحت هم زدن شدید رفلاکس شد. این کار تا زمانی ادامه یافت که هیچ گونه آرتوتروپ تولوئن-آب-الکل در دین استارک^۱ تشکیل نشود و تنها تولوئن به عنوان فاز همگن در حال گردش در رفلاکس و دین استارک باقی ماند. در طی فرآیند رفلاکس، مخلوط اولیه بی رنگ تبدیل به مخلوط زردزنگ می شود. واکنش رفلاکس پس از ۴۸ ساعت کامل گشته و سپس مخلوط واکنش تا دمای اتاق سرد شد. پس از سرد شدن مخلوط و دستیابی به محصول نهایی، حلال باقی مانده توسط دستگاه روتاری و پمپ خلا از محیط واکنش خارج شد.

PBPA: ¹H NMR (300 MHz, DMSO-d₆ /δ) ppm: 1.38-1.68 (m, 2CH₂), 2.36 (m, 2CH₂C=O), 2.27 (s, CH₃-PTSA), 3.97 (s, CCH₂O), 4.06 (s, 2CH₂Br, CH₂OC=O).

۲-۳- سنتز پلی(۲،۲-بیس آزیدومتیل)-۳،۱-پروپیلن آدیپات

در یک فلاسک سه دهانه مجهر به مبرد و ترمومتر، به پلی استر تهیه شده در مرحله قبل (PBPA) مقدار ۱/۸۷ گرم سدیم آزید و ۲۰ میلی لیتر دی متیل سولفونیک اسید (DMSO) به عنوان حلال اضافه شد. مخلوط واکنش تا دمای ۱۰۰ درجه سلسیوس به مدت ۴۸ ساعت حرارت داده شد. سپس مخلوط واکنش تا دمای اتاق سرد شد. به مخلوط واکنش ۳۰ میلی لیتر آب و ۱۰ میلی لیتر آب نمک اشباع اضافه شد. سپس مخلوط پنج مرتبه و هر مرتبه با ۱۰ میلی لیتر اتیل استات استخراج شد. سپس فاز آبی با سدیم سولفات بدون آب خشک شد. در آخر حلال باقی مانده در فاز آبی (اتیل استات) به وسیله دستگاه روتاری خارج شد. محصول نهایی با راندمان ۸۸/۱۹ درصد به دست آمد.

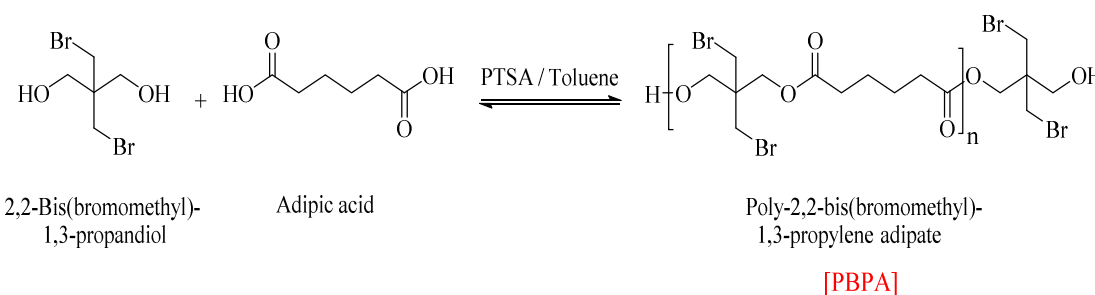
PAPA: ¹H NMR (300 MHz, DMSO-d₆ /δ) ppm: 1.40-1.68 (m, 2CH₂), 2.33 (m, 2CH₂C=O), 3.89 (s, CCH₂O), 3.95 (s, 2CH₂N₃, CH₂OC=O).

۴-۲- اندازه گیری عدد هیدرولیز رسید پلی(۲،۲-بیس آزیدومتیل)-۳،۱-پروپیلن آدیپات) [۲۶]

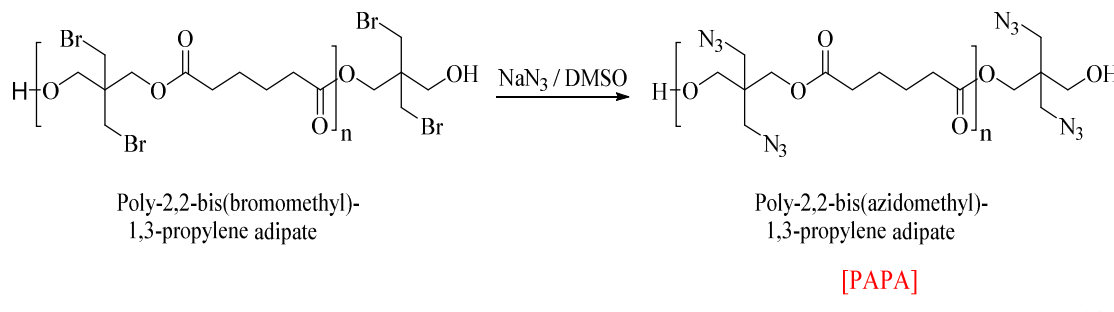
عدد هیدرولیز رسید کمیتی است که برای تعیین میزان گروه های هیدرولیز رسید در یک ماده شیمیایی به کار می رود. مقدار عددی این کمیت از طریق تیتراسیون با پتابسیم هیدرولیز رسید تعیین می شود و بر حسب میلی گرم پتابسیم هیدرولیز رسید بر گرم نمونه بیان می شود. دو عدد ارلن مایر ۲۵۰ میلی لیتری، یکی حاوی ۲ گرم از نمونه پلی(۲،۲-بیس آزیدومتیل)-۳،۱-پروپیلن دیال آدیپات و ۵ میلی لیتر تتراهیدروفوران و ارلن دیگر که به عنوان

طیف FTIR مربوط به PAPA سنتزشده در شکل (۳-ب) نشان داده شده است. ظاهر شدن نوار مربوط به ارتعاش کششی N_3 در ناحیه $۲۱۱۸\text{ cm}^{-۱}$ و حذف پیک ارتعاش کششی پیوند $\text{C}-\text{Br}$ ، نشان دهنده پیشرفت واکنش آزاداسیون PBPA است. سایر نوارهای برجسته این طیف مربوط به نوار کششی پیوند $\text{C}=\text{O}$ استری در ناحیه $۱۷۳۵\text{ cm}^{-۱}$ ، نوار کششی $\text{C}-\text{O}$ استری، دو نوار، یکی قوی تر و پهمنتر از دیگری در ناحیه $۱۰۵۰\text{--}۱۳۰۰\text{ cm}^{-۱}$ و نوار کششی گروههای هیدروکسیل در ناحیه $۳۲۰۰\text{--}۳۴۰۰\text{ cm}^{-۱}$ است.

طیف FTIR مربوط به PBPA سنتزشده در شکل (۳-الف) نشان داده شده است. نوار موجود در ناحیه $۳۴۵۷\text{ cm}^{-۱}$ مربوط به ارتعاش کششی پیوند OH است. در سنتز PBPA نسبت دیال به دی اسید ۲ به ۱ است ولی به طور کلی نوار OH ، هرچند باشدتی کم، همیشه برای پلی استرپلی‌الها وجود دارد. نوار باشدت قوی در ناحیه $۱۷۳۴\text{ cm}^{-۱}$ مربوط به ارتعاش کششی کربونیل ($\text{C}=\text{O}$) است. در نواحی عدد موجی پایین، نواری با بشدت قابل توجهی حدود $۱۱۴۰\text{ cm}^{-۱}$ (در طیف $۱۱۳۷\text{ cm}^{-۱}$) وجود دارد که مرتبط به ارتعاش کششی پیوند $\text{C}-\text{O}$ است. نوار در ناحیه $۵۶۰\text{--}۸۰۰\text{ cm}^{-۱}$ مربوط به ارتعاش کششی پیوند $\text{C}-\text{Br}$ است.



شکل ۱- واکنش سنتز PBPA.

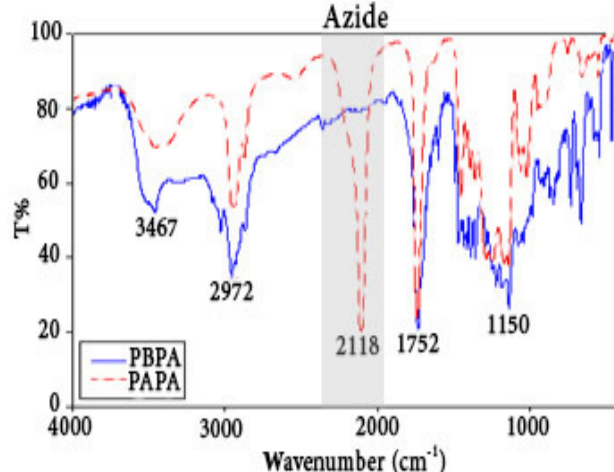


شکل ۲- واکنش سنتز PAPA.

نوع پروتونهای واحد تکراری پلی‌استرهای PAPA و PBPA در شکل (۴) نشان داده شده است. همچنین طیف $^1\text{H-NMR}$ این دو پلی‌استر در شکل (۵) نشان داده شده است.

۲-۳- روند پیشرفت واکنش تولید محصول PBPA با کنترل تغییرات عدد اسیدی طی انجام واکنش

عدد اسیدی معمولاً برای کنترل و اطمینان از انجام فرآیند در طول سنتز رزین به کار می‌رود. با پیشرفت واکنش پلیمریزاسیون تراکمی بین دیال و دی اسید، میزان عدد اسیدی کاهش یافته که این امر بیانگر عدم وجود و یا کاهش گروههای کربوکسیل اسید در محصول نهایی و در نتیجه پیشرفت واکنش است. کامل شدن واکنش حصول به عدد اسیدی کمتر از ۵ mgKOH/g است. جدول (۱) و همچنین شکل (۶) به خوبی نمایانگر کاهش عدد اسیدی در طول انجام واکنش است.

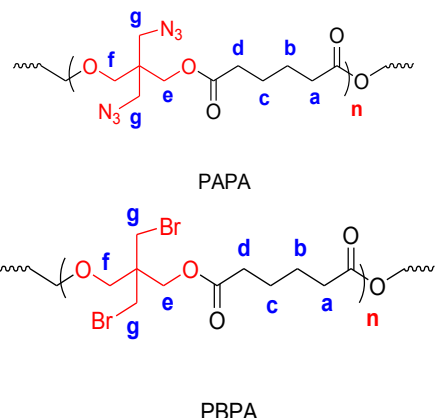


شکل ۳- طیف FTIR ترکیبات PAPA و PBPA.

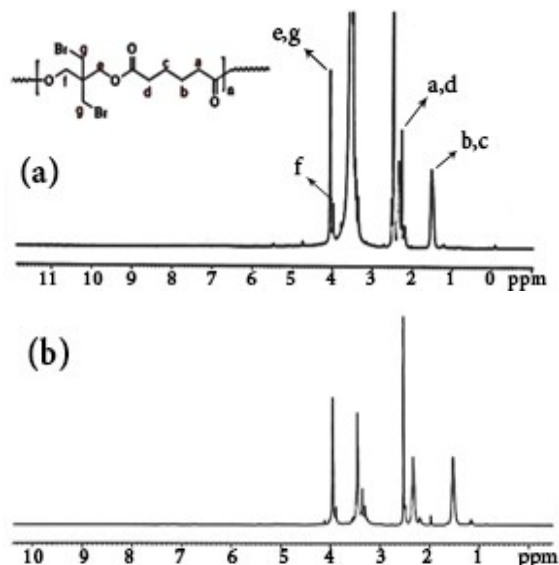
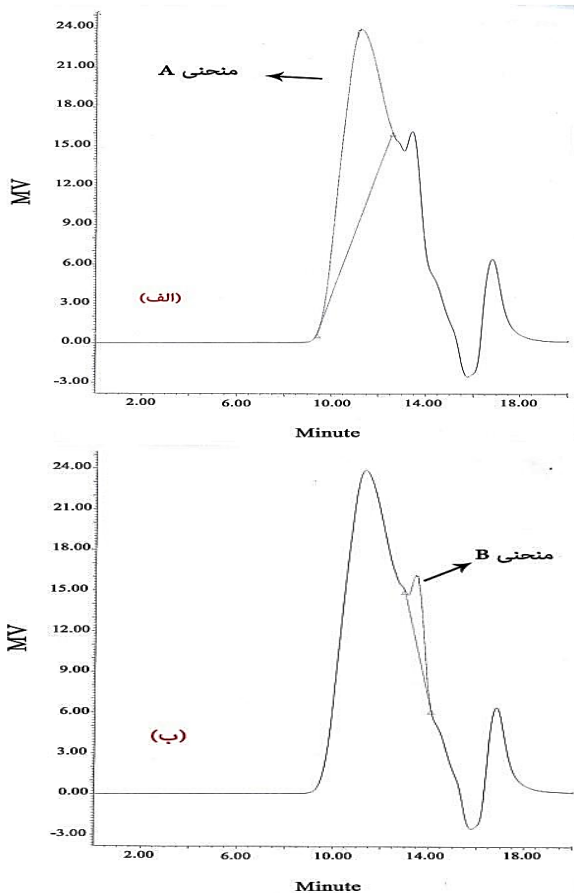
۲-۳- اندازه‌گیری جرم مولکولی پلیمر PAPA

اندازه‌گیری جرم مولکولی با استفاده از کروماتوگرافی ژل تراوا (GPC) انجام شد ولی با توجه به واکنش‌های جانبی و همچنین تشکیل پلیمرهای با گروه انتهایی ناهمگن (هیدروکسیل و کربوکسیل)، میانگین جرم مولکولی پلیمر تصحیح شد.

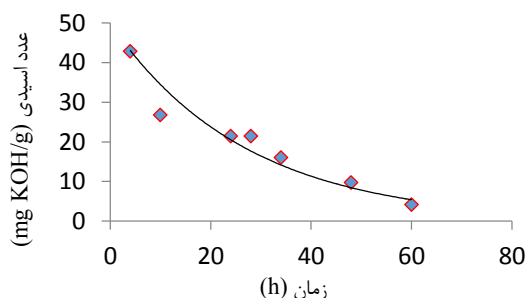
مشخصه‌های ساختاری پلیمر از جمله وزن مولکولی و پراکندگی توزیع وزن مولکولی و غیره با استفاده از دستگاه کروماتوگرافی ژل تراوا بی (GPC) اندازه‌گیری شد (جدول ۲). به علت واکنش جانبی در سنتر پلی استر پاله، مقدار بسیار اندکی پلی استر حلقوی با جرم مولکولی کوچک در حین سنتر پلیمر تشکیل می‌شود. (شکل ۷a)، کروماتوگرام پلی آزیدو استر سنتز شده را نشان می‌دهد.



شکل ۴- نوع پروتون های واحد تکراری در پلی استر.



شکل ۵- طیف ^1H -NMR (الف) PBPA - ب) در .DMSO-d6 حلال



شکل ۶- نمودار میزان عدد اسیدی نمونه PAPA بر حسب زمان.

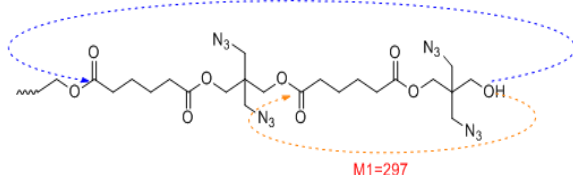
جدول ۱- عدد اسیدی اندازه گیری شده طی پیشرفت واکنش در ۶۰ ساعت.

زمان (h)	عدد اسیدی نمونه (mg KOH/g)
۶۰	۴/۲۱
۴۸	۹/۷۲
۳۴	۱۶/۰۸
۲۸	۲۱/۴۴
۲۴	۲۱/۴۴
۱۰	۲۶/۸
۴	۴۲/۸۸

جدول ۲- نتایج به دست آمده از طیف GPC ترکیب PAPA.

M_z/M_w	PDI	M_z	M_v	M_w	M_n	جز
			g/mol			
۱/۳۷	۱/۴۱	۹۸۹۷	۶۸۷۲	۷۲۲۸	۵۱۵۰	پلی آزیدو استر (PAPA)
۱/۰۳	۱/۰۳	۶۷۷	۶۴۸	۶۵۲	۶۲۷	محصول حلقوی

M1=593



شکل ۹- تشکیل استرهای حلقوی با جرم مولکولی ۲۹۷ و ۵۹۳ در طی پلیمریزاسیون تراکمی بین ۲۰۲ دی برمو-۳۰۱-پروپان دی ال و آدیپیک اسید.

۳-۳- اندازه گیری وزن اکی والان پلی آزیدو استر

وزن اکی والان پلی استرپلی ال ها بر اساس اندازه گیری عدد هیدروکسیل محاسبه می شود ولی چون در رابطه ۱، برای اندازه گیری عدد هیدروکسیل، جرم نمونه توزین شده مجموع وزن پلیمر دی ال، پلیمر آزیدو استر با گروه انتهایی کربوکسیل و هیدروکسیل و محصول استر حلقوی است لذا در طی دو مرحله عدد هیدروکسیل اندازه گیری شده کل تصحیح شده و وزن اکی والان پلی آزیدو استر با گروه انتهایی هیدروکسیل، محاسبه و تصحیح می شود.

تصحیح عدد هیدروکسیل پلیمر PAPA- حذف جرم اولیگومر حلقوی از جرم رزین PAPA. با توجه به اینکه پلیمر خطی و اولیگومر حلقوی ساختار شیمیایی یکسانی دارند، لذا، پاسخگویی آشکاراگر RI در GPC به دو ترکیب یکسان در نظر گرفت و با محاسبه سطح زیر منحنی های شکل (۶a) و (۶b) میزان درصد وجود این ایگومرها حلقوی را در محصول نهایی تعیین کرد.

$$= \text{میزان درصد ایگومر حلقوی موجود در محصول} \quad (۳)$$

$$\times 100 = \frac{\text{سطح زیر منحنی (A+B)}}{\text{سطح زیر منحنی B}} / \text{سطح زیر منحنی A}$$

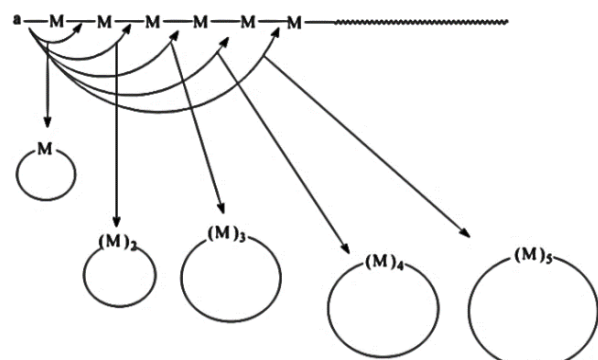
$$= \frac{[172176 + 1439678]}{172176} \times 100 = 10\%$$

محصول جانبی حلقوی حدود ۱۰٪ وزن کلی پلیمر را تشکیل می دهد. با توجه به اینکه این محصول فاقد گروه های کربوکسیل و هیدروکسیل است می توان عدد هیدروکسیل را از طریق کاهش وزن پلیمر بکار رفته در اندازه گیری عدد هیدروکسیل محاسبه و تصحیح کرد و وزن اکی والان و همچنین تعداد واحد تکراری پلی آزیدوبولی استر را محاسبه کرد.

در اندازه گیری عدد هیدروکسیل کل از ۲ گرم پلیمر استفاده شد. حال با توجه به اینکه ۱۰٪ از وزن کلی پلیمر مربوط به محصول جانبی حلقوی است، محاسبه عدد هیدروکسیل به صورت زیر تصحیح می شود:

$$\text{OH.NO} = \frac{(16 - 14.7) \times 0.94 \times 56.1}{2 - (2 \times 10\%)} = 38.24 \text{ mg(KOH)/g}$$

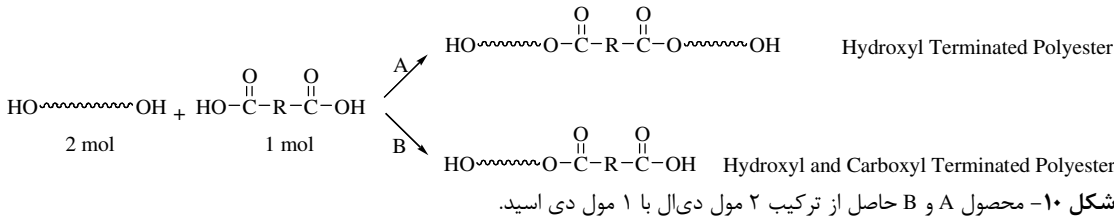
همان طور که مشاهده می شود در سمت راست پیک اصلی، یک پیک پدیدار می شود که مرتبط با ایگومرهای حلقوی با جرم مولکولی کوچک است. در حین واکنش پلیمریزاسیون تراکمی برای تهیه پلی استرپلی الها، واکنش جانبی ترانس استریفیکاسیون رخ می دهد که منتهی به تولید اولیگومرهای حلقوی استری می شود. این محصولات جانبی، از طریق واکنش درون مولکولی گروه های هیدروکسیل انتهایی زنجیر در حال رشد با گروه های استری میانی همان زنجیر و حذف اولیگومرهای حلقوی ایجاد می شوند. این واکنش، به نام " واکنش از پشت " معروف است [۲۸]. شکل (۸) نمایی شماتیک از تشکیل اولیگو استرهای حلقوی با اندازه های متفاوت را نشان می دهد [۲۹].



شکل ۸- نمایی شماتیک از تشکیل استرهای حلقوی در طی پلیمریزاسیون تراکمی.

طبق نتایجی که از بررسی کروماتوگرام GPC (شکل ۷b) ثبت شده است (جدول ۳)، برای پیکی که به صورت شانه و در سمت راست پیک اصلی کروماتوگرام ظاهر می شود مقدار شاخص پراکنندگی جرم مولکولی PDI=۱/۰۳۹ است که این امر به معنای بسیار نزدیک بودن جرم مولکولی ایگومرهای حلقوی تشکیل شده به یکدیگر است. با توجه به نتایج جدول (۲)، میانگین عددی جرم مولکولی M_n این جز، ۶۲۷ گرم بر مول است. بنابراین با توجه به جرم مولکولی محصول، از بین امکان های متعددی که برای تشکیل اولیگومرهای حلقوی در این پلیمریزاسیون وجود دارد (شکل ۸)، تشکیل استرهای حلقوی M_2 و M_3 با جرم مولکولی ۲۹۷ و ۵۹۳ گرم بر مول نسبت به سایر اولیگومرها محتمل تر به نظر می رسد (شکل ۹).

هیدروکسیل انتهایی است ولی در پایان واکنش هنوز هم مقداری پلی آزیدو استر با گروه انتهایی هیدروکسیل و کربوکسیل وجود دارد. بنابراین امکان تشکیل دو محصول A (محصول اصلی) و B (محصول جانبی) وجود دارد (شکل ۱۰).

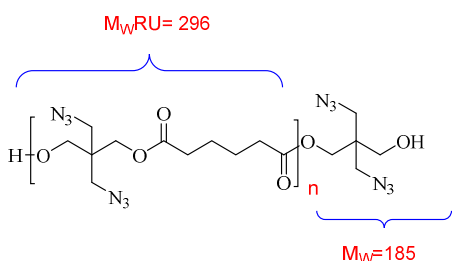


مولکولی را با استفاده از معادله ۸ محاسبه کرد. در این معادله n برابر با تعداد گروههای عاملی است.

$$M_n = eq \times n \quad (8)$$

$$M_{n(PAPA)} = 2977/7.0 \times 2 = 5955/4$$

مقدار M_n محاسبه شده به مقدار M_n گزارش شده از GPC (جدول ۳) نزدیک بوده که این امر صحت محاسبات انجام شده برای تصحیح وزن مولکولی پلیمر PAPA را تایید می‌کند. با استفاده از جرم مولکولی پلیمر و جرم مولکولی واحد تکراری (Ru)، تعداد متوسط واحد تکراری و همچنین میزان نیتروژن پلی آزیدو استر محاسبه شد و در نتیجه تعداد واحد تکراری بین ۱۹ تا ۲۰ منظور گردید (شکل ۱۱).



شکل ۱۱- تعیین جرم مولکولی واحد تکراری.

$$M_{w(Ru)} = 296 \text{ g.mol}^{-1}$$

$$= 19/5 \sim 20 \quad (\text{تعداد واحد تکراری})$$

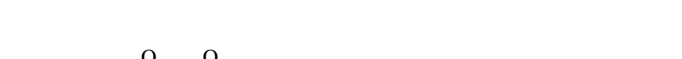
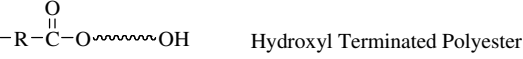
$$= 28/37 \quad [14 \times 6 / 296] \quad (\text{درصد نیتروژن در واحد تکراری})$$

جدول (۳)، صحت محاسبات انجام شده را نشان می‌دهد آنالیز عنصری اندازه گیری شده پلیمر پلی آزیدو استر تقریباً نزدیک به مقادیر ثئوریک است.

جدول ۳- نتایج آنالیز عنصری ثئوریک و محاسباتی پلی(۲،۲-بیس(آزیدومتیل)-۱-پروپیلن آدیپات).

ثئوری			تجربی		
%C	%H	%N	%C	%H	%N
۴۵/۴۴	۵/۴	۲۸/۹۱	۴۳/۲۵	۵/۸۸	۲۶/۲۳

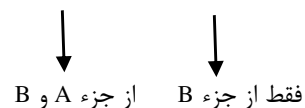
تصحیح عدد هیدروکسیل PAPA- حذف عدد هیدروکسیل مربوط به پلی استر با گروه انتهایی هیدروکسیل- کربوکسیل: با توجه به اینکه در سنتز PAPA مقدار دیال دو برابر مقدار دی اسید استفاده شد، محصول عمده و اصلی واکنش پلی آزیدو استر با گروه



شکل ۱۰- محصول A و B حاصل از ترکیب ۲ مول دیال با ۱ مول دی اسید.

چون عدد هیدروکسیل کل محاسبه شده هم از محصول A و هم از محصول B حاصل می‌شود لذا در مرحله دوم از تصحیح عدد هیدروکسیل باید مقدار عدد هیدروکسیل پلی آزیدو استر با گروه انتهایی هیدروکسیل- کربوکسیل از محاسبات عدد هیدروکسیل حذف شود.

$$(4) \quad \text{عدد اسیدی} - \text{عدد هیدروکسیل} = \text{عدد هیدروکسیل پلی آزیدو استر}$$



$$(5) \quad \text{عدد اسید} = \text{عدد هیدروکسیل B} - \text{عدد هیدروکسیل A} \quad [\text{دیال}]$$

از آنجایی که در هیدروکسیل اسید (محصول B)، عدد هیدروکسیل برابر با عدد اسیدی است لذا وزن اکی والان هیدروکسیل گلیکول به صورت زیر محاسبه می‌شود:

$$(6) \quad [\text{عدد اسیدی}] - [\text{عدد هیدروکسیل کل}] = \text{عدد هیدروکسیل پلی آزیدو استر دیال}$$

برای اندازه گیری میزان عدد هیدروکسیل پلی آزیدو استر دیال باید عدد هیدروکسیل مربوط به محصول جانبی B از عدد هیدروکسیل محاسبه شده در بخش (۱-۳-۳) کسر شده و مقدار واقعی عدد هیدروکسیل مجدداً تصحیح شود.

$$\text{OH.NO} = 38/24 - 2(9/7) = 18/84 \text{ mg(KOH)/g}$$

حال می‌توان با استفاده از عدد هیدروکسیل اصلاح شده، وزن اکی والان پلیمر PAPA را با استفاده از معادله (۷) محاسبه کرد:

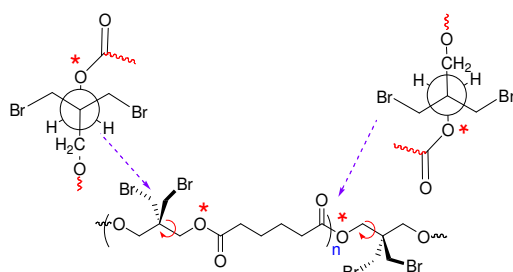
$$(7) \quad \text{eq} = \frac{56100}{\text{OH.NO}}$$

$$\text{eq wt(PAPA)} = 56100 / 18/84 = 2977/7.$$

۴-۳- محاسبه تعداد واحد تکراری در پلی آزیدو استر

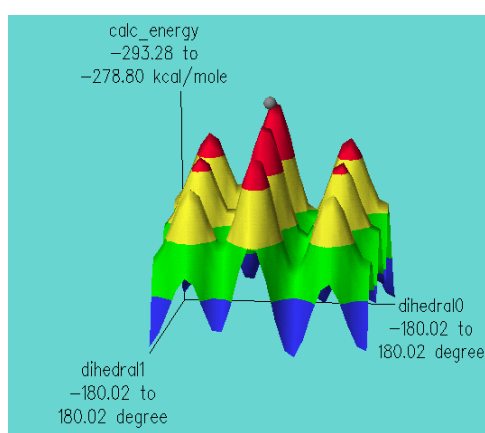
با توجه به اینکه محصول اصلی واکنش پلیمریزاسیون تراکمی، پلی آزیدو استر دو عاملی با گروههای انتهایی هیدروکسیل است، لذا می‌توان با اندازه گیری گروههای انتهایی هیدروکسیل، میانگین عددی جرم

در آزیداسیون پلی (۲،۲-بیس(برومومتیل)-۱،۳-پروپیلن آدیپات) به پلی (۲،۲-بیس(آزیدومتیل)-۱،۳-پروپیلن آدیپات)، گروه‌های آزید جایگزین اتم حجیم برم می‌شود. حجم گروه استخلافی در تغییر دمای انتقال شیشه‌ای موثر است و سهولت در حرکت میل لنگی تابعی از اندازه گروه استخلافی است. برای شبیه سازی حرکت میل لنگی در واحد تکراری، به علت مشابه بودن بخش آدیپیک اسید در واحد تکراری، محاسبات نیمه تجربی مربوط به آنالیز کنفورماتیونی برای بخشی از پلیمر، که در طی واکنش آزیداسیون تغییر می‌کند، انجام شده است. حرکت همزمان حول زاویه‌های دو وجهی O^*-CH_2- (۱۲) $C(CH_2Br)_2-CH_2OH$ دو طرف آدیپیک اسید می‌تواند حرکت میل لنگی را در واحد تکراری پلیمر شبیه سازی کند. شکل (۱۳) کنفورماتیون گوچ را برای دو زاویه دو وجهی منتخب برای حرکت میل لنگی را نشان می‌دهد.



شکل ۱۳- کنفورماتیون گوچ در قطعه $-O^*-CH_2-C(CH_2Br)_2-$ در واحد تکراری آزیدو استر CH_2OH .

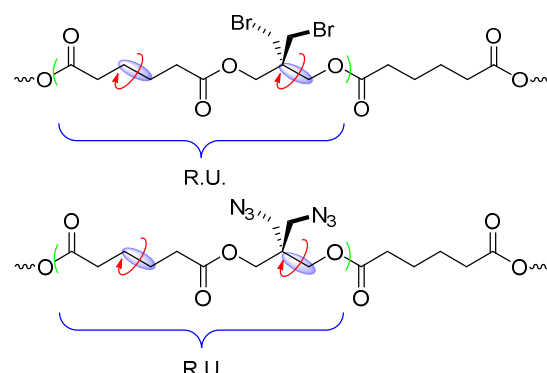
نتایج محاسبات گردید حول دو زاویه دو وجهی منتخب نشان می‌دهد که حرکت میل لنگی مستلزم عبور از حالت گذار با انرژی بالا است که در آن دو هر دو زاویه دو وجهی مقادیر ۴۵ درجه را اختیار کرده و کنفورماتیون کاملاً به صورت پوشیده است (شکل ۱۴). در این زاویه دو وجهی، انرژی لازم برای چرخش در پلی آزیدواستر کمتر بوده (شکل ۱۵) و لذا دمای انتقال شیشه‌ای آن باید کمتر از پلی برمواستر باشد.



شکل ۱۴- نمودار انرژی پتانسیل پلی برمواستر حول زوایای دو وجهی $*-CH_2-C(CH_2Br)_2-CH_2OH$.

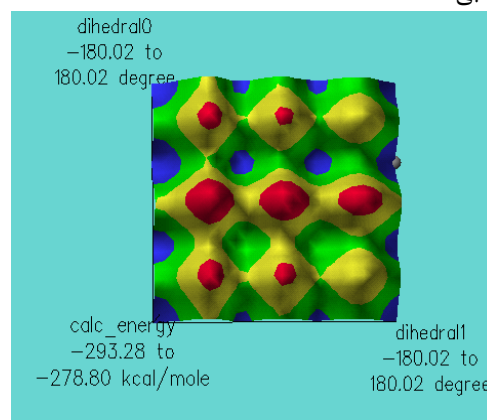
۵-۵- آنالیز کنفورماتیونی واحد تکراری PBPA و PAPA و همبستگی آن با دمای انتقال شیشه (Tg)

دمای انتقال شیشه‌ای در پلیمرهای آمورف و نیمه کریستالی، دمایی است که در آن پلیمر از حالت شیشه‌ای به حالت لاستیکی تغییر می‌یابد و یا به عبارتی دمایی است که در آن انتقال شیشه‌ای انجام می‌شود. این تغییر حالت به علت حرکت قطعات بزرگ پلیمری رخ می‌دهد که ناشی از تغییر کنفورماتیون این قطعات در حرکت میل لنگی فرم است. همان‌طور که شکل (۱۰) نشان می‌دهد این حرکت میل لنگی را می‌توان از طریق آنالیز کنفورماتیونی حول پیوندهای کربن-کربن اجزا سازنده واحد تکراری پلیمرهای پلی (۲،۲-بیس(آزیدومتیل)-۱،۳-پروپیلن آدیپات) و پلی (۲،۲-بیس(آزیدومتیل)-۱،۳-پروپیلن آدیپات) شبیه سازی کرد.

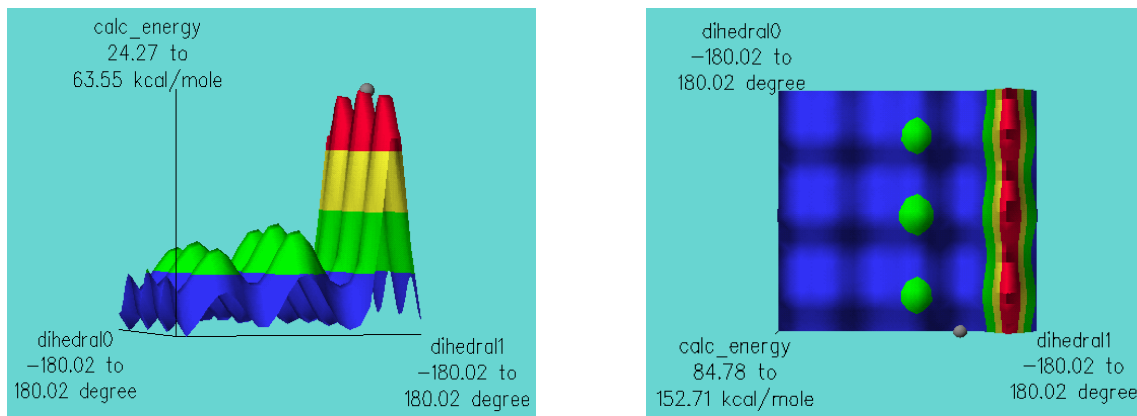


شکل ۱۲- چرخش میل لنگی پیوند های C-C در واحد تکراری پلیمر پلی (۲،۲-بیس(برومومتیل)-۱،۳-پروپیلن آدیپات) و پلی (۲،۲-بیس(آزیدومتیل)-۱،۳-پروپیلن آدیپات).

عامل بسیار زیادی مانند جرم مولکولی، پیوند هیدروژنی، پیوند عرضی، انعطاف پذیری، حجم و قطبیت گروههای جانبی به زنجیر اصلی می‌توانند دمای انتقال شیشه‌ای پلیمر را تغییر دهنده در واکنش‌های پسا پلیمریزاسیون دمای انتقال شیشه‌ای متاثر از اندازه و قطبیت گروههای جانبی است.

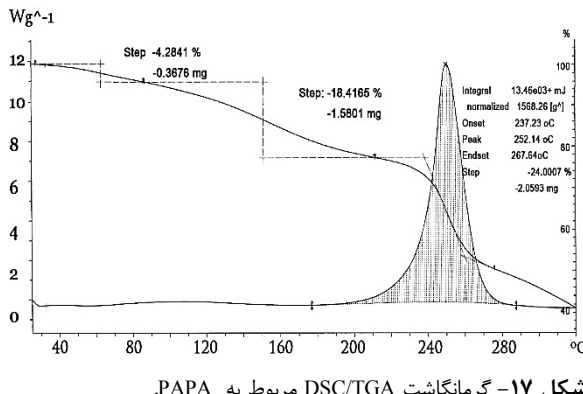


شکل ۱۴- نمودار انرژی پتانسیل پلی برمواستر حول زوایای دو وجهی $*-CH_2-C(CH_2Br)_2-CH_2OH$.

شکل ۱۵- نمودار انرژی پتانسیل انرژی پلی آزیدو استر حول زوایای دو وجهی .O*-CH₂-C(CH₂N₃)₂-CH₂OH

۶-۳- بررسی تخریب حرارتی پلی آزیدو استر

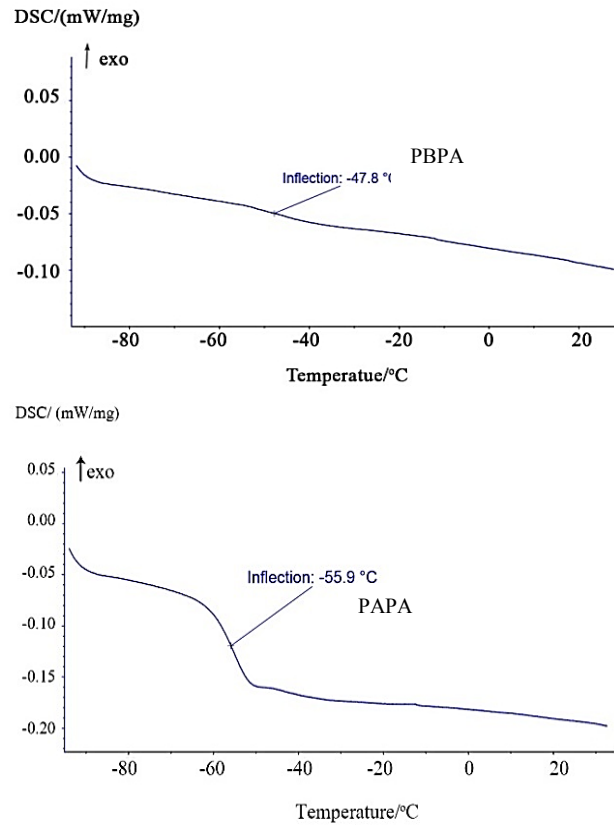
تجزیه حرارتی اجزا تشکیل دهنده بایندر یکی از فاکتورهای مهم در تعیین رفتار احتراقی پیشانه‌های جامد مرکب است؛ لذا در این قسمت رفتار حرارتی بایندر PAPA با استفاده از گرماسنج روبشی تفاضلی (DSC) جهت مطالعه و بررسی رفتار تخریب حرارتی پلیمر استفاده شده است.



شکل ۱۷- گرمانگاشت DSC/TGA مربوط به PAPA

شکل (۱۷) گرمانگاشت DSC/TGA تخریب حرارتی PAPA را نشان می‌دهد. اولین کاهش وزن (۰.۴/۲۸٪) مربوط به حذف مواد فرار، آب و یا حلال است. دومین مرحله کاهش وزن ۰٪/۴۲٪ (۰.۲۴٪) + (۰.۱۸٪/۴۱٪) است مربوط به تخریب اگزوترمیک گروههای آزیدو -R-CH₂-N₃ به نایترن: R-CH₂N₃ و همچنین تخریب حرارتی پلی استر است. همچنین پیمایش دمایی DSC مربوط به PAPA یک پیک اگزوترمیک را در گستره دمایی ۲۰۰-۲۸۰ درجه سلسیوس نشان می‌دهد. قله پیک در دمای ۲۵۲/۱۴°C قرار دارد. این پیک به حذف نیتروژن از گروههای آزیدو نسبت داده می‌شود و در آخرین مرحله از تجزیه حرارتی، باقیمانده پلیمر زنجیر اصلی پلی استری در دمای بالاتر رخ می‌دهد از طریق مکانیزم‌های نشان داده شده در شکل (۱۸) به گازهای CO, HCN, CH₄, CH₂O, H₂O, H₂

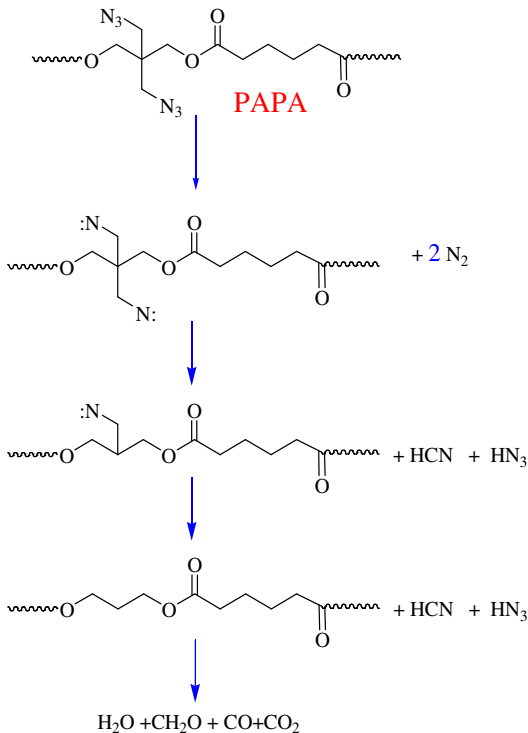
گرما نگاشت پلیمرهای پلی(۲،۲-بیس(برومومتیل)-۳،۱-پروپیلن آدیپات) و پلی(۲،۲-بیس(آزیدومتیل)-۳،۱-پروپیلن آدیپات) در شکل (۱۶) نشان می‌دهد که دمای انتقال شیشه‌ای پلیمر بعد از آزیداسیون به اندازه ۸ درجه سلسیوس کاهش یافته است که دلیل بر سهولت حرکت زنجیرهای پلیمری پلی آزیدو استر در دمایهای پایین تر است و هماهنگی نتایج شبیه سازی را با نتایج تجربی DSC نشان می‌دهد.



شکل ۱۶- گرمانگاشت DSC در محدوده ۱۰۰-۲۵°C برای اندازه گیری دمای انتقال شیشه‌ای نمونه‌های PAPA و PBPA

مراجع

- [1] Hamilton, R. S.; Wardle, R. B.; Hinshaw, J. C. "Oxazoline Bonding Agents in Composite Propellants"; US Patent 5,366,572, 1994.
- [2] Mathew, S.; Manu, S.; Varghese, T. "Thermomechanical and Morphological Characteristics of Cross Linked GAP and GAP-HTPB Networks with Different Diisocyanates"; Propellants, Explos., Pyrotech. 2008, 33, 146-152.
- [3] Macri, B. J. "Boron-Fuel-Rich Propellant Compositions"; US Patent 3,986,909, 1976.
- [4] Colclough, M. E.; Paul, N. C. "Nitrated Hydroxy Terminated Polybutadiene: Synthesis and Properties"; J. Am. Chem. Soc. Symp. Ser. 1996, 623, 97-103.
- [5] Pant, C. S.; Santosh, Mada S. S. N. M.; Banerjee, S.; Khanna, P. K. "Single Step Synthesis of Nitro-Functionalized Hydroxyl-Terminated Polybutadiene"; Propellants, Explos., Pyrotech. 2013, 38, 748-753.
- [6] Stewart, M.; Arber, A.; Bragg, G.; Colclough, E.; Desai, H.; Millar, R.; Paul, N.; Salter, D. "Novel Energetic Monomers and Polymers Prepared Using N_2O_5 Chemistry"; Proc. 21st Int. Ann. Conf. ICT, Fraunhofer Institut fur Chemische Technologie, Karlsruhe, Germany, 1990 , Paper 3/1 – 3/11.
- [7] Vandenburg, E. J. "Polymer Containing Azidomethyl Side Chains"; US Patent 3,645,917, 1972.
- [8] Wagner, R. I.; Wilson, E. R.; Grant, L. R.; Flanagan, J. E. "GAP Polymer Binder for Propellants and Its Preparation"; US Patent 4,937,361, 1981.
- [9] Mohan, Y. M.; Mani, Y.; Raju, K. M. "Synthesis of Azido Polymers as Potential Energetic Propellant Binders"; Des. Monomers Polym. 2006, 9, 201-236.
- [10] Frankel, M. B.; Grant, L. R.; Flanagan, J. E. "Historical Development of Glycidyl Azide Polymer"; J. Propul. Power. 1992, 3, 560-563.
- [11] Desai, H. J.; Cunliffe, A. V.; Lewis, T.; Millar, R. W.; Paul, N. C.; Stewart, M. J. "Synthesis of Narrow Molecular Weight α,ω -Hydroxy Telechelic Poly(glycidyl nitrate) and Estimation of Theoretical Heat of Explosion"; Polymer. 1996, 37, 3471-3476.
- [12] Ang, H. G.; Pisharath, S. "Energetic Polymer, Binders and Plasticizers for Enhancing Performance"; weily-VCH Verlag, 2012.
- [13] Colclough, M. E.; Desai, H.; Golding, P.; Millar, R. W.; Paul, N. C.; Stewart, M. J. "Energetic Polymers as Binders in Composite Propellants and Explosives"; Polym. Adv. Tech. 1994, 5, 554 – 560 .
- [14] Barbieri, U.; Polacco, G.; Paesano, E.; Massimi, R. "Low Risk Synthesis of Energetic Poly(AMMO) from Tosylated Precursors"; Propellants, Explos., Pyrotech. 2006, 31 , 369-374.
- [15] Lui, Y. L.; Hsue, G. H.; Chiu, Y. S. "Preparation and Properties of BAMO/THF Copolymers"; Proc. 24th Int. Ann. Conf. ICT, Karlsruhe, Germany, 1993 . pp. 10/1 – 10/7 .
- [16] Guo, K.; Luo, Y.; Li, X.; Huang, L. "Synthesis of Poly(3,3-Bis-Azidomethyl Oxetane) via Direct Azidation of Poly(3,3-Bis-Bromo Oxetane)"; Propellants, Explos., Pyrotech. 2010, 35 , 423-424.
- [17] Keicher, T. "Synthesis and Characterization of Azidopolymers Containing Hydroxyl End Groups"; Ph.D. Thesis, Franhofer Institute of Chemical Technology, Erlangen, 1993.
- [18] Ionescu, M."Chemistry and Technology of Polyols for Polyurethanes"; Rapra Publishing, 2005.



شکل ۱۸- مکانیزم و محصول حاصل از تجزیه حرارتی برای پلیمرهای پلی آزیدو استر حاوی گروههای آزیدو متیل [۳۰-۳۱].

۴- نتیجه گیری

پلی(۲،۲-بیس آزیدو متیل)-۳،۱-پروپیلن آدیپات (PAPA) یک پلی آزیدو استر خطی با گروههای هیدروکسیل انتهایی است. وزن مولکولی و خواص فیزیکی آن با تنظیم نسبت اولیه بین دی اسید و دی ال کنترل می شود. این ترکیب با وجود افزایش محتوای انرژی، پایداری شیمیایی خوبی را از خود نشان می دهد و بر اساس خواص اندازه گیری شده، این ترکیب برای بایندرهای انرژی زا در سیستم های پرانرژی مناسب باشد. در این تحقیق ابتدا پلیمر پلی(۲،۲-بیس برمومتیل)-۳،۱-پروپیلن آدیپات (PBPA) از طریق واکنش تراکمی مستقیم آزیداسیون این پلیمر در حضور سدیم آزید، به منظور دستیابی به ترکیب PAPA صورت گرفت. به وسیله طیف سنجی 1H NMR و FT-IR و سپس ساختار ترکیبات سنتز شده، تایید شد. خصوصیاتی از قبیل دمای انتقال شیشه، جرم مولکولی و پایداری حرارتی ترکیب PAPA به ترتیب به وسیله آنالیزهای DSC-TGA و GPC تعیین شد. پلی(۲،۲-بیس آزیدو متیل)-۳،۱-پروپیلن آدیپات می تواند از طریق گروههای جانسی آزید با ترکیبات استیلنی پخت شده و پلیمرهای شبکه ای با خواص متنوعی را ایجاد کند و یا از طریق گروههای هیدروکسیل انتهایی با ترکیبات ایزوسیاناتی پخت شده و پلی بورتان ها را تولید کند.

- [26] ASTM D4274-16 "Standard Test Methods for Testing Polyurethane Raw Materials: Determination of Hydroxyl Numbers of Polyols".
- [27] ASTM D 4662-93 "Standard Test Methods for Polyurethane Raw Materials. Determination of Acid and Alkalinity Numbers of Polyols".
- [28] Burch, R. R.; Lustig, S. R., Spinu, M. "Synthesis of Cyclic Oligoesters and Their Rapid Polymerization to High Molecular Weight"; Macromolecules 2000, 33, 5053-506.
- [29] Garaleh, M. M. "Synthesis and Characterization of Cyclic Polymers and Biodegradable Networks"; Ph.D. Thesis, University of Hamburg, 2005.
- [30] Gaur, B.; Lochab, B.; Choudhary, V.; Varma, I. K. "Azido Polymers"; J. Macromol. Sci. Polym. Rev. 2003, 43, 505.
- [31] Arisawa, H.; Brill, T. "Thermal Decomposition of Energetic Materials Combustion and Flame"; Combust. Flame 1998, 112, 533-544.
- [19] Edlund, U.; Albertsson, A. C. "Polyesters Based on Diacid Monomers"; Macromolecules 2005, 38, 5406-5410.
- [20] Oertel, G. "Polyurethane Handbook"; Carl Hanser Verlag, Munich, Germany, 1985.
- [21] Sparrow, D.; Thorpe, D. "Telechelic Polymers, Synthesis and Applications"; 2nd Ed., CRC Press, Boca Raton, FL: 1989.
- [22] Szycher, M. "Szycher's Handbook of Polyurethanes"; 2nd Ed., CRC press, 2012.
- [23] Dahrensbourg, D. J.; Ganguly, P.; Billodeaux, D. "Ring-Opening Polymerization of Trimethylene Carbonate Using Aluminum(III) and Tin(IV) Salen Chloride Catalysts"; Adv. Drug Deliver. Rev. 2003, 55, 585-609.
- [24] Keicher, T.; Wasmann, F. W. "Polymers with High-Energy Substituents: Polyesters Containing Azidomethyl Groups"; Propellants, Explos., Pyrotech. 1992, 17, 182-184.
- [25] Vonderhagen, A. "Enzymatic Esterification"; US Patent 6,479,618, 2002.